

**Silvia Galli**  
**Laboratoire APC, Paris**  
**University of Rome La Sapienza**

# **Vincoli su modelli di materia oscura da radiazione di fondo cosmico**

**Silvia Galli**

**S. Galli, F. Iocco, G. Bertone, A. Melchiorri,**

**'CMB constraints on Dark Matter models with large annihilation cross-section', Phys. Rev. D,  
vol. 80, Issue 2, (arXiv:0905.0003), 2009.**

IFAE

09/04/2010

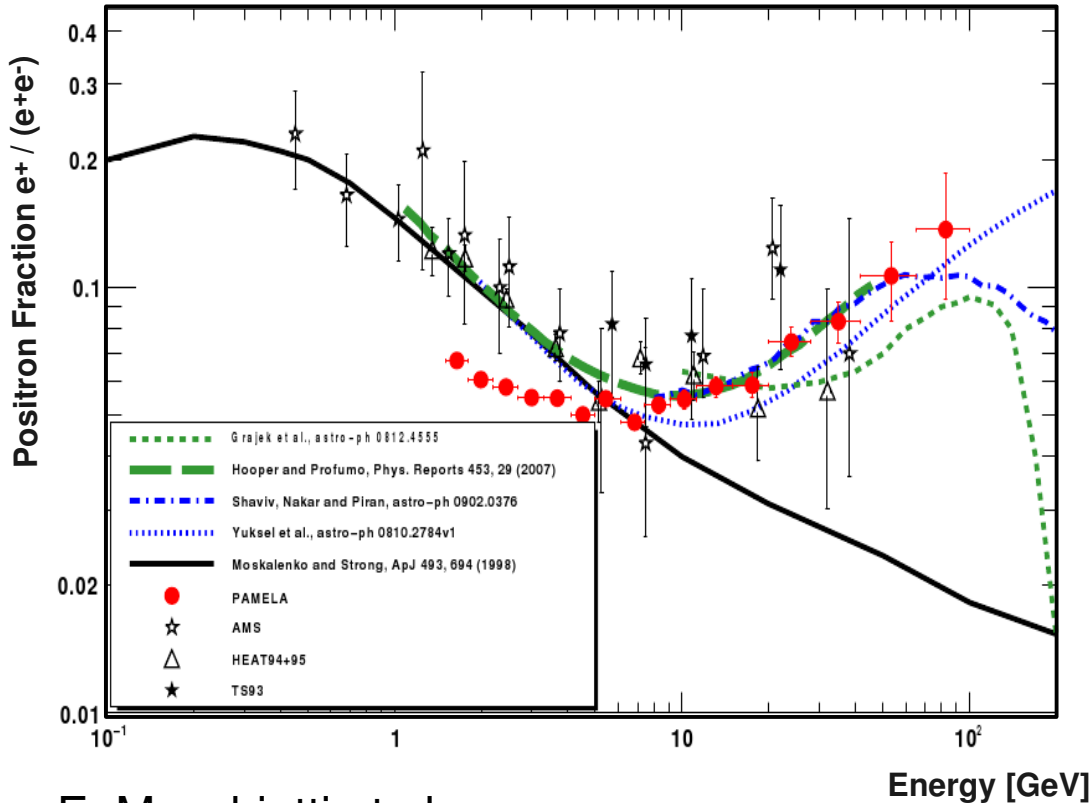
# Sommario

- Motivazioni:
  - Pamela, Atic, Fermi
- Teoria:
  - Ricombinazione standard e Annichilazione di materia oscura
- Risultati
  - Vincoli da WMAP5
- Conclusioni

# Motivazioni

- **Anomalie:** eccesso nella frazione di **positroni** su elettroni e nello spettro di energia degli **elettroni**.
- Possibili spiegazioni: emissioni da pulsar, decadimento di materia oscura, **annichilazione di materia oscura** ecc...

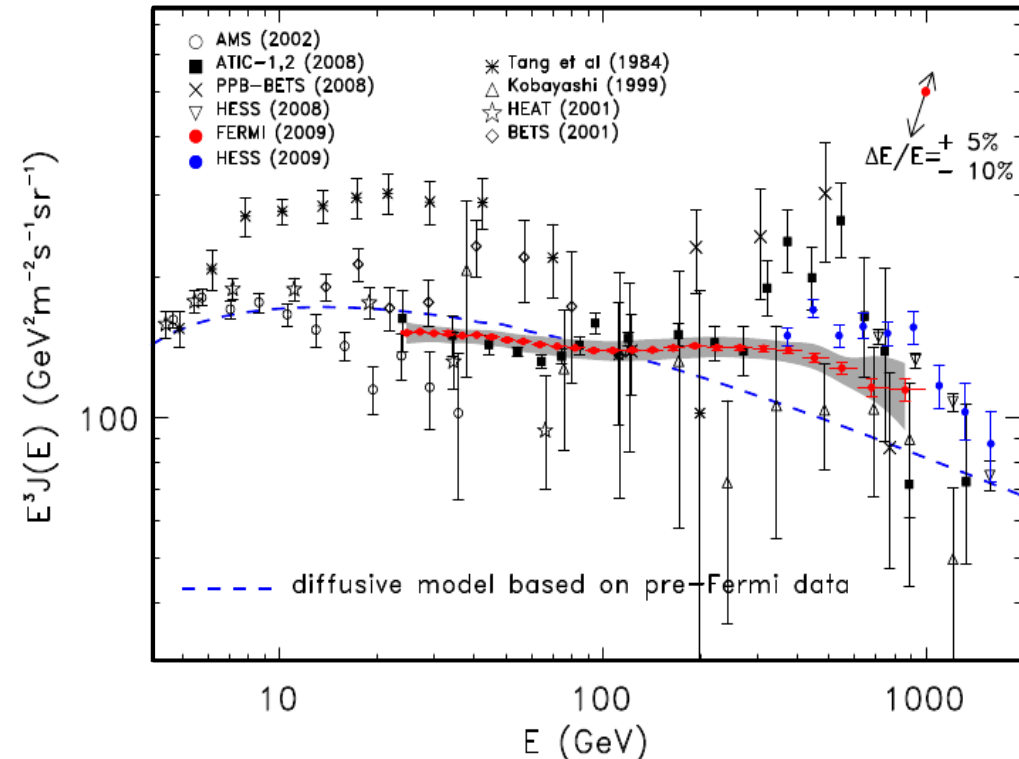
Positron Electron Fraction



E. Mocchiutti et al.  
arXiv:0905.2551v1

**Pamela**

Electron Spectrum



Latronico et al.(Fermi Lat-collaboration)  
arXiv:0907.0452v 1

**Atic, Fermi**

# Motivazioni

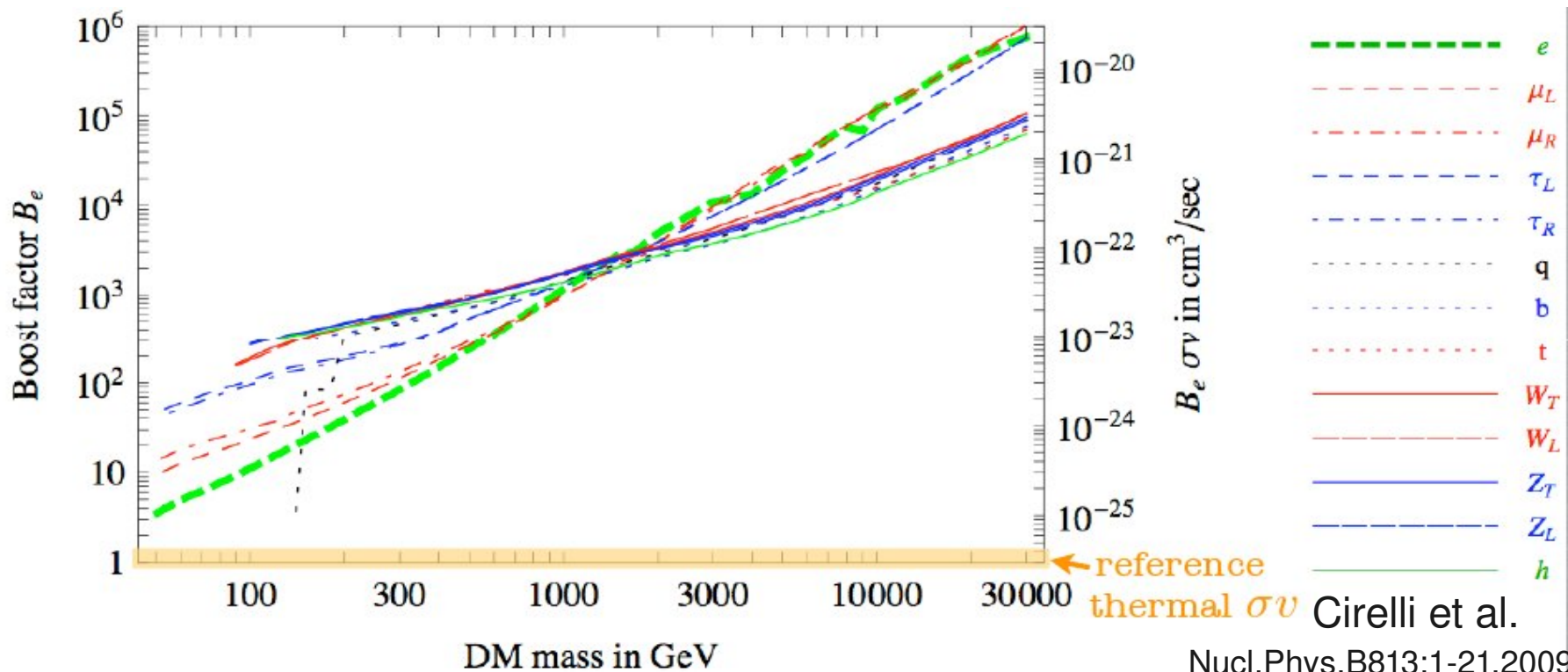
→ Produzione termica della DM

$$\langle \sigma v \rangle \sim 10^{-26} \text{ cm}^3/\text{s. (WIMP)}$$

→ Tasso di annichilazione:

$$\Gamma \propto n^2 \langle \sigma v \rangle. \text{ Densità DM da simulazioni.}$$

Necessario **BOOST** della sezione d'urto di alcuni ordini di grandezza per spiegare i dati, in funzione di massa e canale di annichilazione.



# Motivazioni

→ Produzione termica della DM

$$\langle \sigma v \rangle \sim 10^{-26} \text{ cm}^3/\text{s. (WIMP)}$$

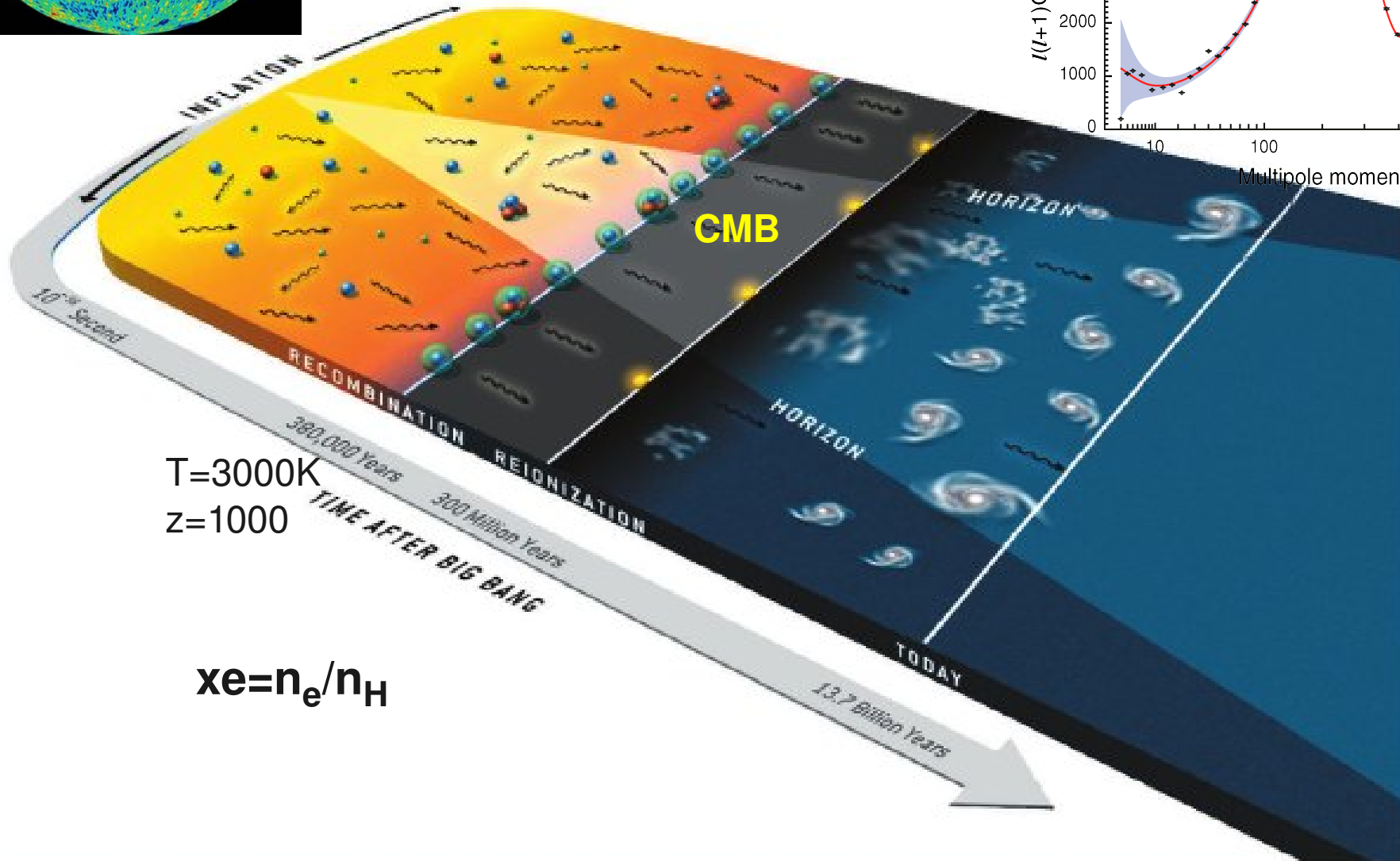
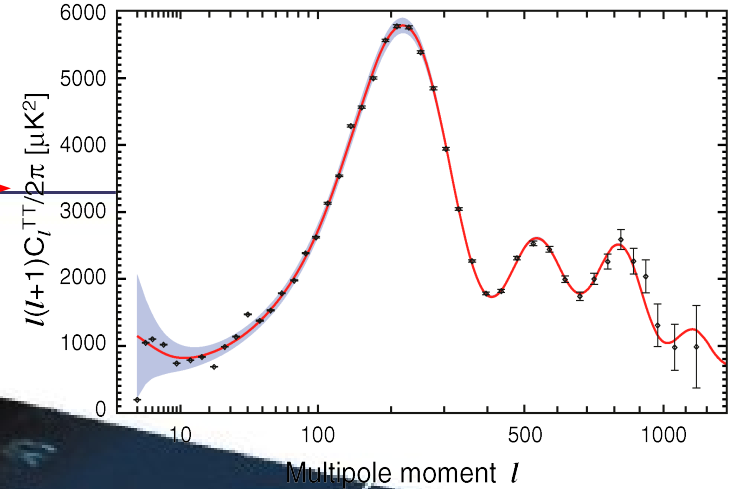
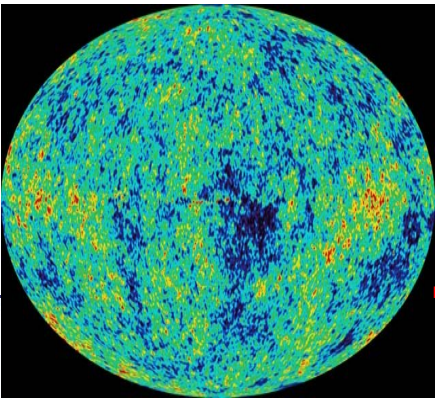
→ Tasso di annichilazione:

$$\Gamma \propto n^2 \langle \sigma v \rangle. \text{ Densità DM da simulazioni.}$$

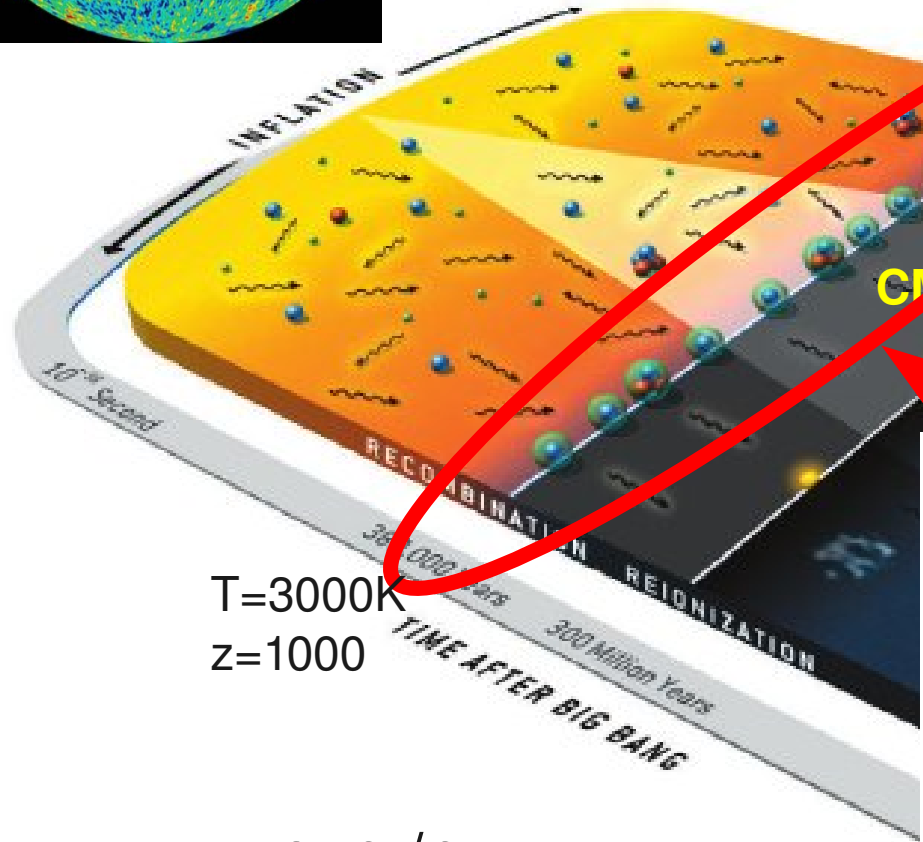
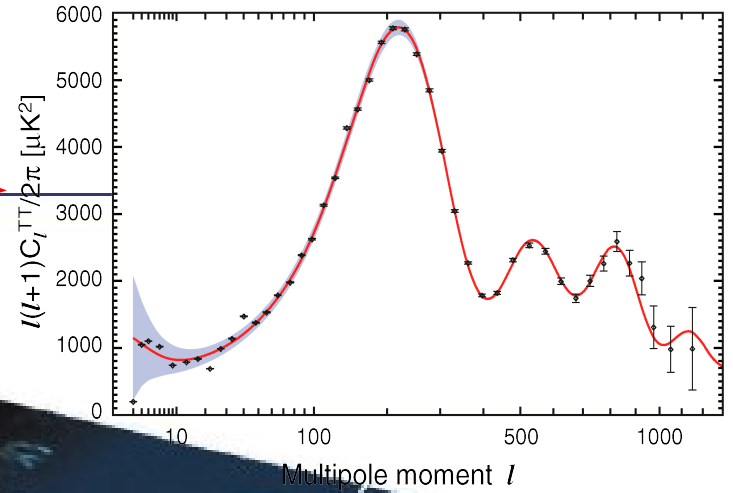
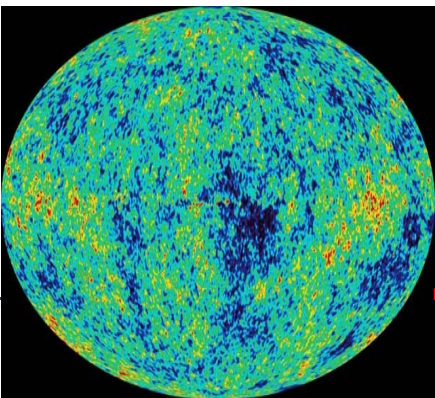
Necessario **BOOST** della sezione d'urto di alcuni ordini di grandezza per spiegare i dati, in funzione di massa e canale di annichilazione.

All'epoca della ricombinazione, quando si forma la CMB, la densità di materia media di materia oscura era  $10^9$  volte maggiore di oggi.

# Ricombinazione standard

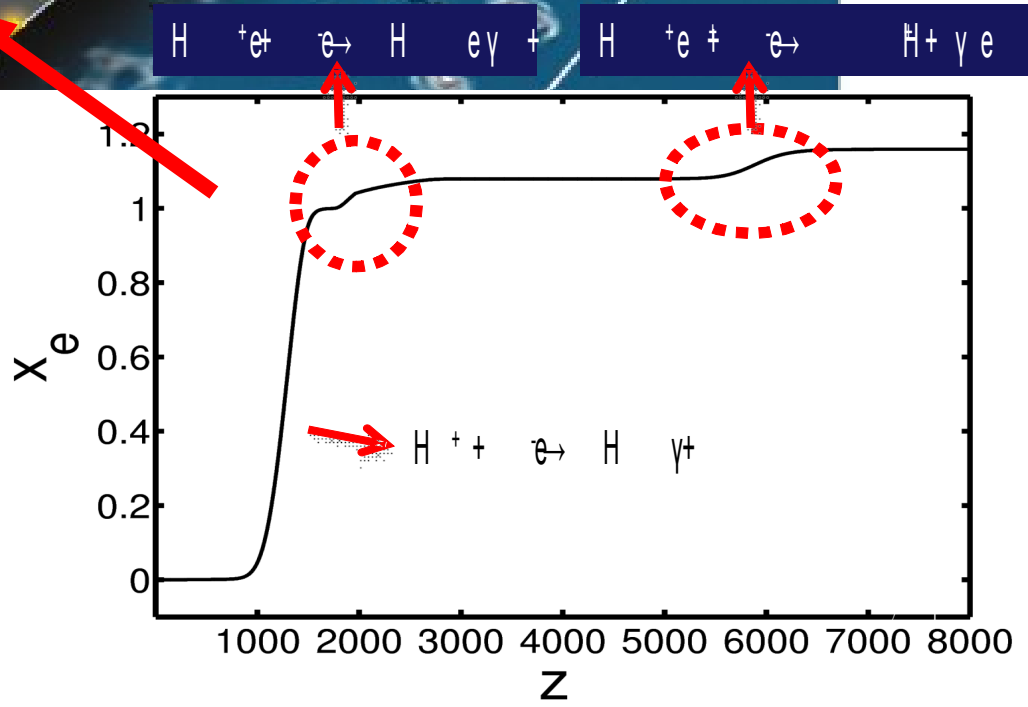


# Ricombinazione standard



$T=3000\text{K}$   
 $z=1000$

$$x_e = n_e / n_H$$



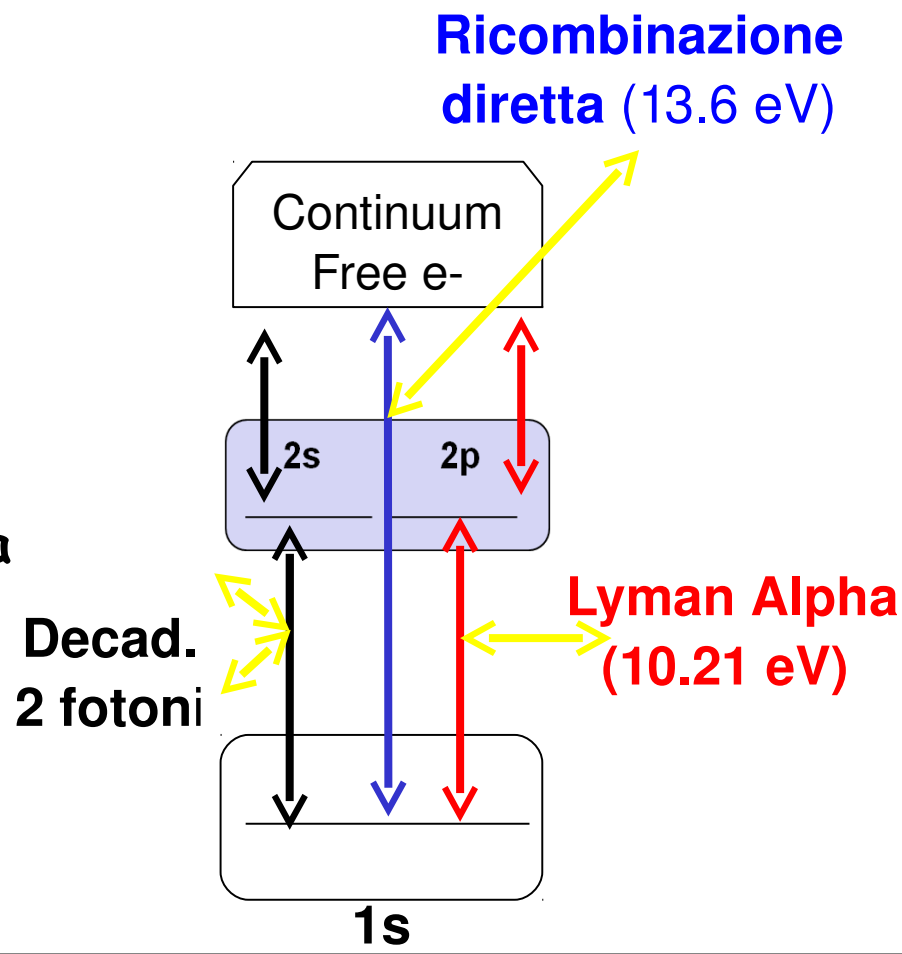
# Annichilazione della Materia Oscura nel Plasma

Tasso di iniezione di energia

$$dE/dt = \rho_c^2 c^2 \Omega_{DM}^2 (1+z)^6 \left[ f \frac{\langle \sigma v \rangle}{m_\chi} \right]$$

$P_{am}$  = Parametro che contiene:

- $f$  = frazione energia che va nel plasma
- $\langle \sigma v \rangle$  = sezione d'urto
- $m_\chi$  = massa della DM



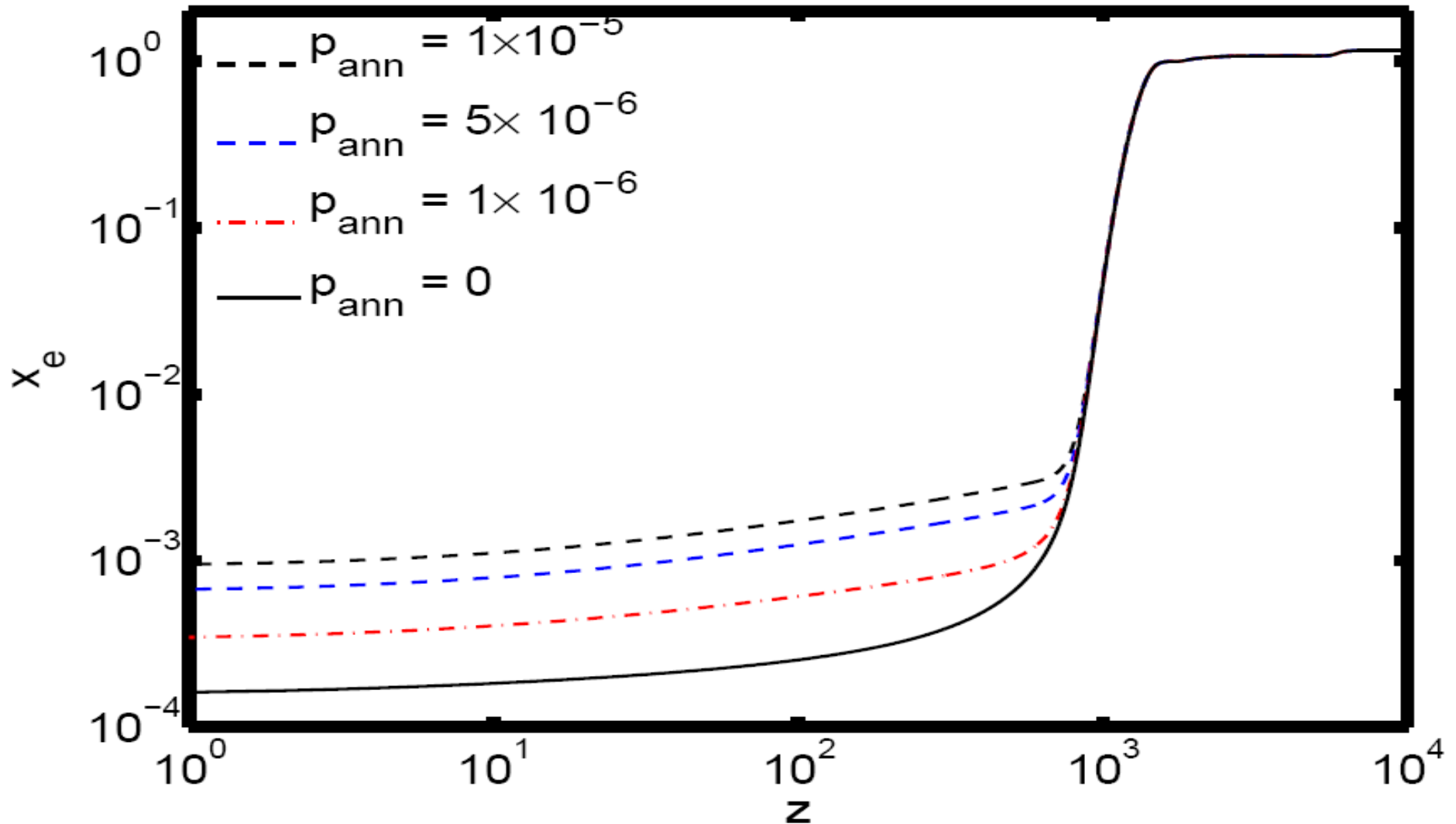
Frazione di energia che modifica la ricombinazione sotto forma di:

- **Fotoni Ly-alpha**
- **Fotoni ionizzanti**
- **Riscaldamento del Plasma**

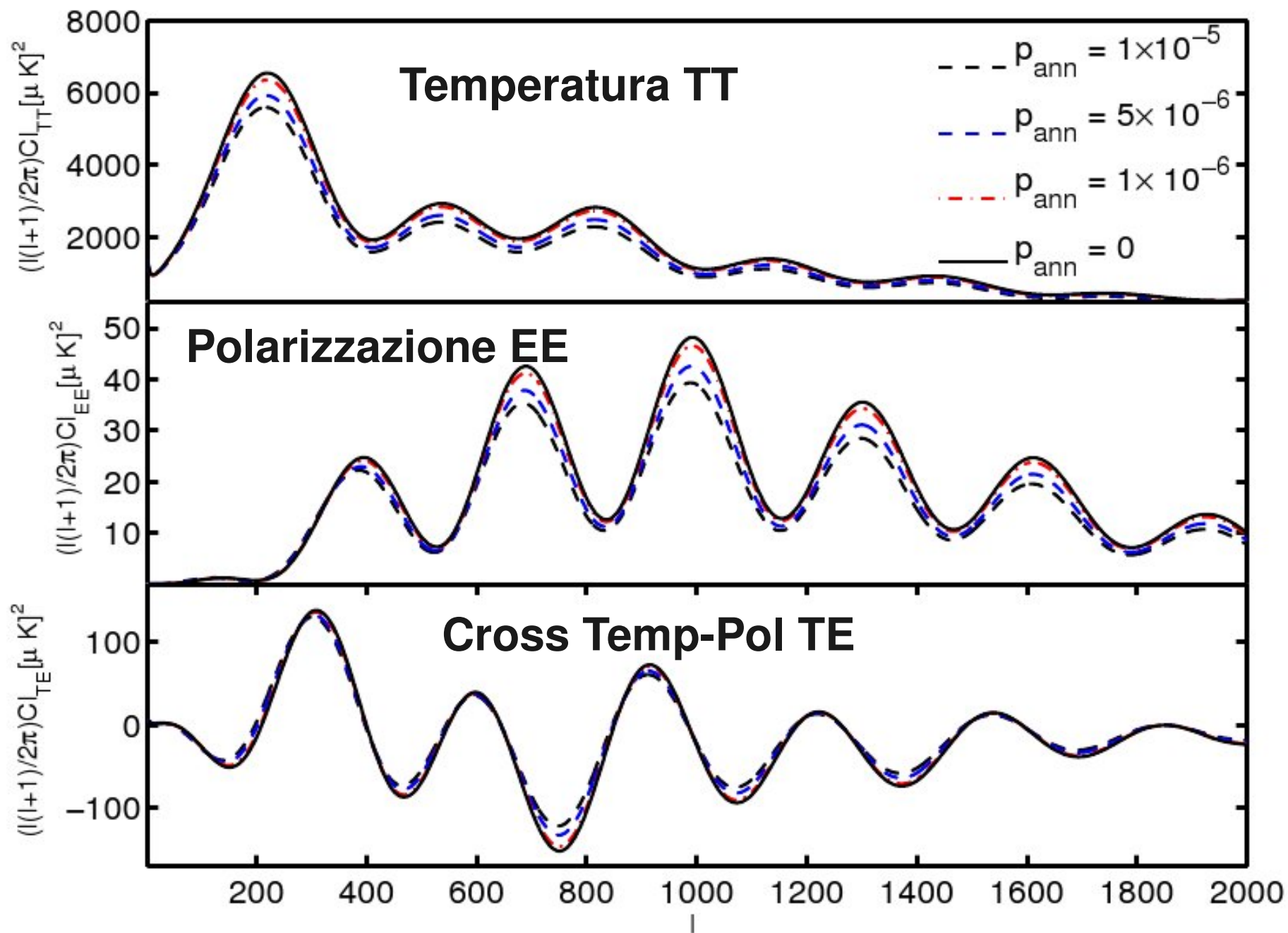
Shull, J. M.; van Steenberg, M. E. Astrophys. J. 298, 2 (6)8 (1985)

# Annichilazione di Materia Oscura nella Ricombinazione

Evoluzione della frazione di elettroni liberi nel tempo in presenza di annichilazione di DM.



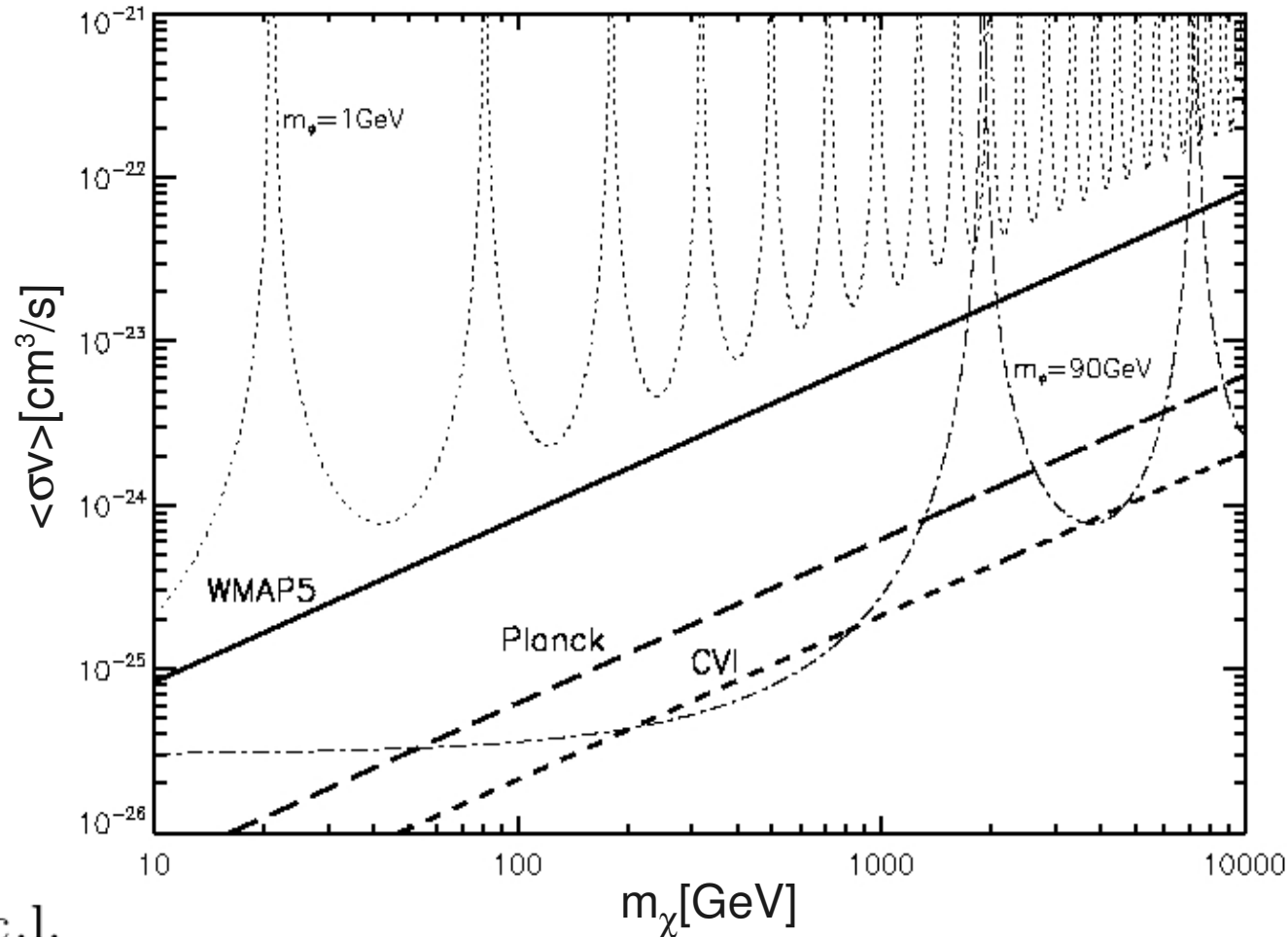
# Spettri di Anisotropia Angolare della CMB



# RISULTATI

Vincoli sul parametro  $p_{ann}$  con dati di Wmap5, simulazioni di Planck e simulazioni di un ipotetico esperimento limitato solo dalla Varianza Cosmica.

$$P_{ann} = f \frac{\langle \sigma v \rangle}{m_\chi}$$



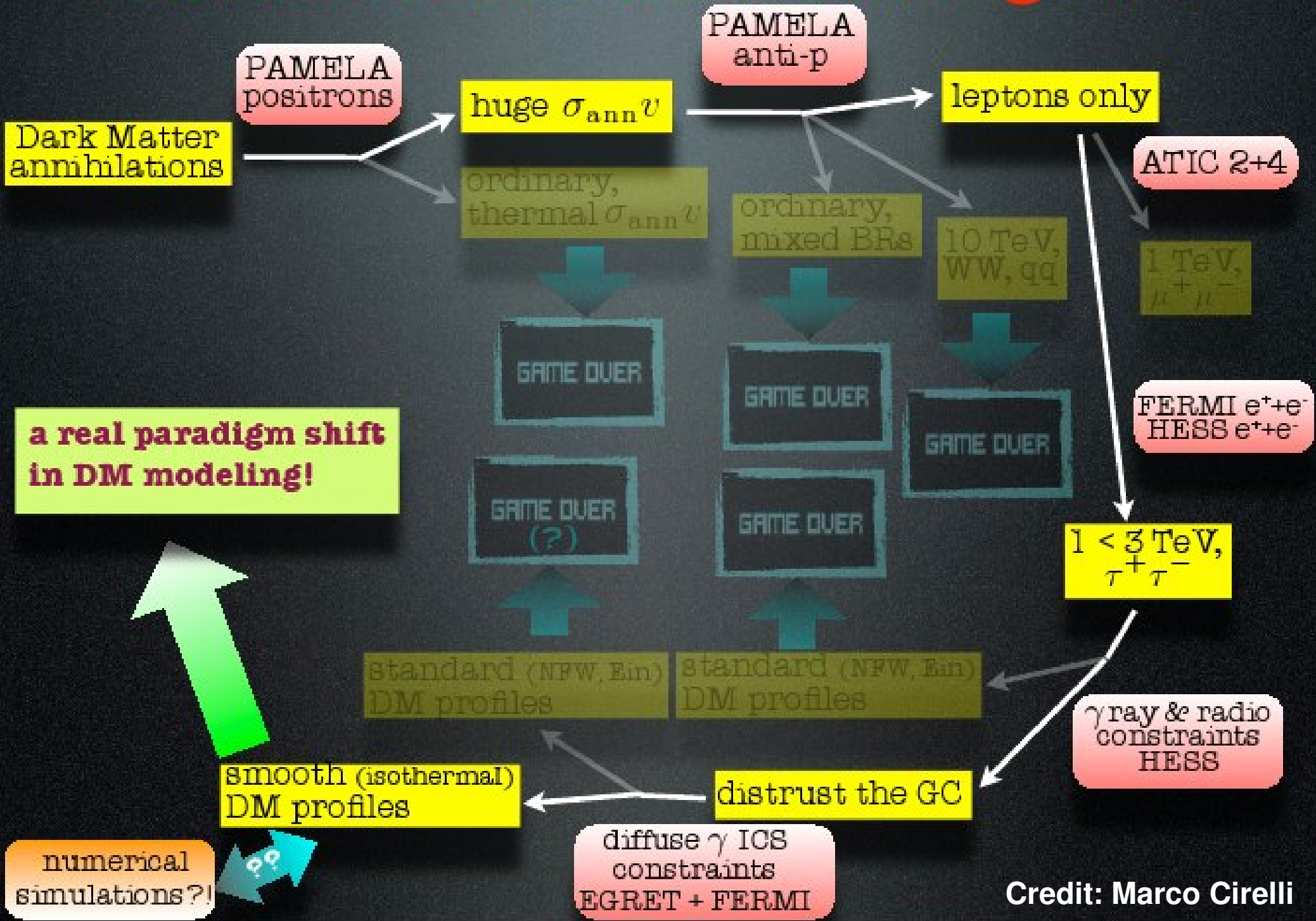
Experiment	$p_{ann}$ 95% c.l.
WMAP	$< 2.4 \times 10^{-6} \text{ m}^3/\text{s}/\text{kg}$
Planck	$< 1.7 \times 10^{-7} \text{ m}^3/\text{s}/\text{kg}$
CVI	$< 5.9 \times 10^{-8} \text{ m}^3/\text{s}/\text{kg}$

- Supponendo  $f=0.5$  (T.R. Slatyer, N. Padmanabhan, P. D. Finkbeiner, arXiv:0906.1197)

# Conclusioni

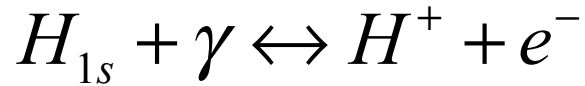
- Gli attuali dati della radiazione di fondo cosmico sfavoriscono l'interpretazione delle anomalie dei raggi cosmici con annichilazione di materia oscura.
- Ciò vincola anche lo spazio dei parametri di fenomeni quali il Sommerfeld Enhancement.
- Il satellite Planck sarà in grado di migliorare i vincoli sull'annichilazione di materia oscura di più di un ordine di grandezza.

# DM annihilations: the game

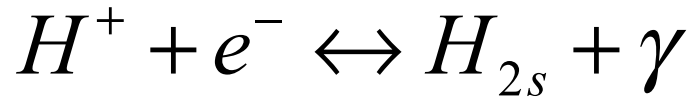


# Physics of recombination (Peebles (1968) and Zeldovich, Kurt & Sunyaev (1968) )

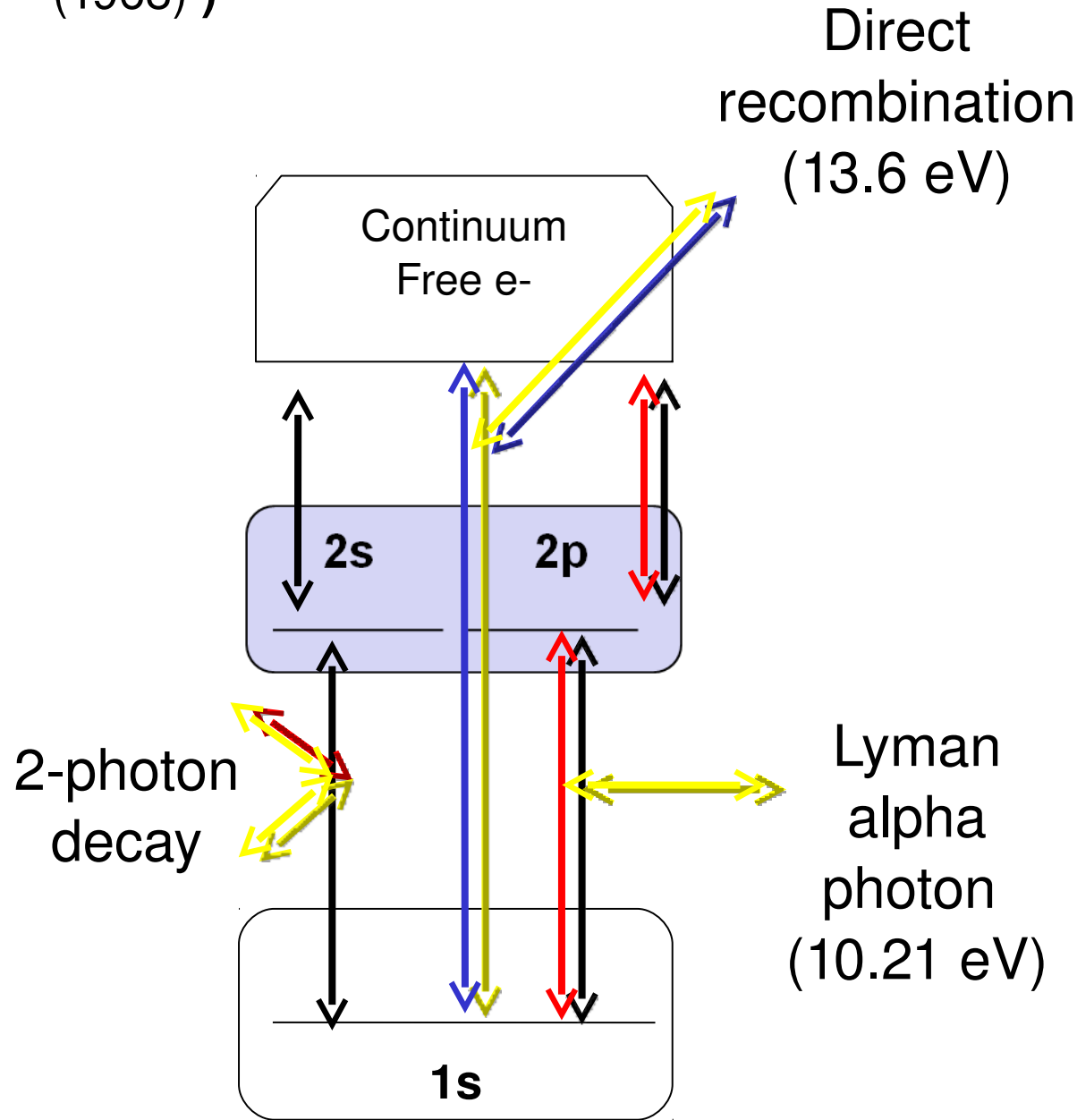
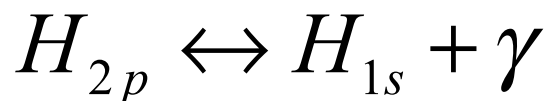
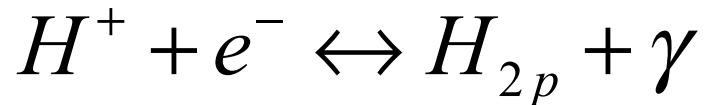
**Direct Recombination** but  
NO NET recombination



**2-photon decay** from  
metastable 2s states



**Cosmological redshift of the  
Lyman alpha photons**



# Dark Matter annihilation

- Lyman alpha and ionizing photons affects xe and temperature

$$dE/dt = \rho_c^2 c^2 \Omega_{DM}^2 (1+z)^6 \left[ f \frac{\langle \sigma v \rangle}{m_\chi} \right]$$

Energy injection rate

Redshift dependence of the injection rate of Lyman alpha(ea), ionizing (ei) photons and heating term that changes matter temperature

**$\rho_{am}$**  = One new parameter that contains:

$f$  = energy fraction to plasma

$\langle \sigma v \rangle$  = cross section

$m_\chi$  = mass of the annihilating particle

$$\epsilon_\alpha(z) = C \chi_\alpha \frac{dE/dt}{n_H(z) E_\alpha H(z)}$$

**Lyman alpha photons**

$$\epsilon_i(z) = C \chi_i \frac{dE/dt}{n_H(z) E_i H(z)}$$

**Ionization photons**

$$\kappa_h = \chi_h \frac{dE/dt}{n_H(z)}$$

**Heating of the plasma**

The energy fraction that goes into ionization, heating and eccitation have been calculated in Shull, J. M.; van Steenberg, M. E. *Astrophys. J.* 298, 2 (6)8 (1985)

# Dark Matter Annihilation in Recombination

- First approximation: constant injection of photons.
- Two parameters added to Standard Model

P.J.E. Peebles, S. Seager, W.Hu,  
Astrophys.J.539:L1-L4,2000

$$\frac{dn_{\alpha}}{dt} = \varepsilon_{\alpha} n_H H(z) \quad \frac{dn_i}{dt} = \varepsilon_i n_H H(z)$$

$$\frac{-dx_e}{dt} = \frac{-dx_e}{dt} \Big|_{std} - C \varepsilon_i H - (1 - C) \varepsilon_{\alpha} H$$

